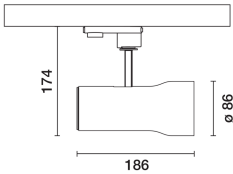


Última actualización de la información: Mayo 2025

Configuraciones productos: 334A
334A: Proyector SIPARIO Ø86 - DALI - Flood - OBLens -



Código producto
334A: Proyector SIPARIO Ø86 - DALI - Flood - OBLens -

Descripción
Proyector orientable Ø86 con adaptador para instalación en base o riel de tensión de red. Lámpara led con tecnología C.o.B (Chip on Board) de alto rendimiento cromático -CRI97- tono 2700K.
Cuerpo de aluminio fundido a presión con tapón trasero y anillo frontal de material termoplástico (Mass-Balance). El producto permite una rotación de 360° alrededor del eje vertical con bloqueo mecánico y una inclinación de 90° con respecto a la superficie horizontal. Disipación pasiva del calor.
Sistema óptico OptiBeam Lens con óptica Flood.
Alimentador electrónico regulable DALI-2 integrado en el cuerpo de iluminación.
Proyector con sistema Push&Go diseñado para facilitar y agilizar de manera segura el acoplamiento entre el producto y el accesorio óptico. La desconexión mecánica permite desenganchar el accesorio sin riesgo de que se caiga. Posibilidad de utilizar hasta tres accesorios internos y uno externo al mismo tiempo. Todos los accesorios internos y externos pueden girar 360° respecto al eje longitudinal del proyector.

Instalación
Base o riel de tensión de red.

| | |
|--------------------------------|------------------|
| Colores | Peso (Kg) |
| Blanco (01) Negro opaco (V0) | 0.87 |

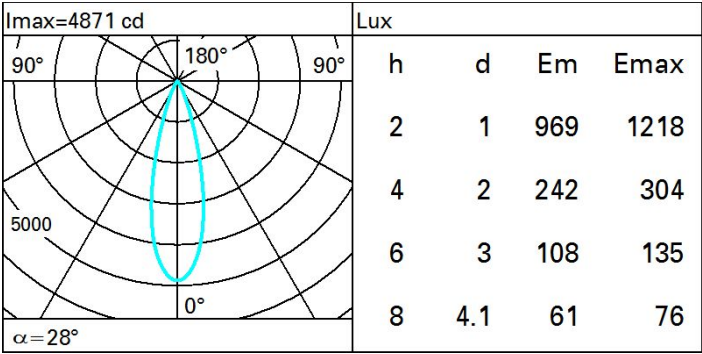
Montaje
riel trifásico

Se conforma con EN60598-1 y regulaciones pertinentes



| Datos técnicos | | | |
|---|------|--------------------------------------|---------------------------------|
| Im de sistema: | 1328 | CRI (mínimo): | 97 |
| W de sistema: | 18 | Temperatura de color [K]: | 2700 |
| Im de la fuente: | 1620 | MacAdam Step: | 2 |
| W de la fuente: | 16 | Life time (vida útil) LED 1: | > 50,000h - L90 - B10 (Ta 25°C) |
| Eficiencia luminosa (lm/W, valor del sistema): | 73.8 | Código de lámpara: | LED |
| Im en modo emergencia: | - | Número de lámparas por grupo óptico: | 1 |
| Flujo total de emisión en un ángulo de 90° o superior [Lm]: | 0 | Código ZVEI: | LED |
| Light Output Ratio (L.O.R.) [%]: | 82 | Número de grupos ópticos: | 1 |
| Ángulo de apertura del haz de luz [°]: | 28° | Control: | DALI-2 |

Polar



Isolux

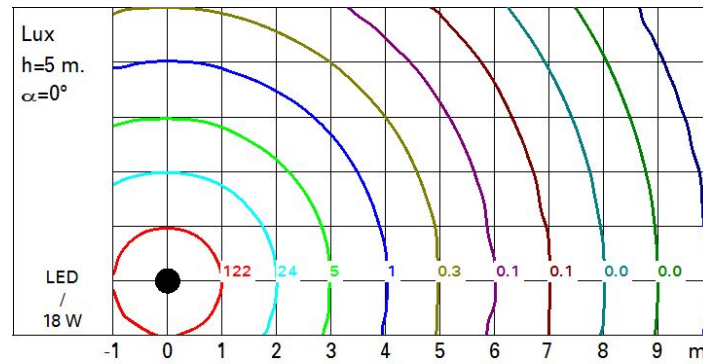


Diagrama UGR

| Corrected UGR values (at 1620 lm bare lamp luminous flux) | | | | | | | | | | | | |
|---|-----|------------------|-------------|------|------|------|----------------|------|------|------|------|--|
| Reflect.: | | viewed crosswise | | | | | viewed endwise | | | | | |
| ceiling | cav | 0.70 | 0.70 | 0.50 | 0.50 | 0.30 | 0.70 | 0.70 | 0.50 | 0.50 | 0.30 | |
| walls | | 0.50 | 0.30 | 0.50 | 0.30 | 0.30 | 0.50 | 0.30 | 0.50 | 0.30 | 0.30 | |
| work pl. | | 0.20 | 0.20 | 0.20 | 0.20 | 0.20 | 0.20 | 0.20 | 0.20 | 0.20 | 0.20 | |
| Room dim | | viewed crosswise | | | | | viewed endwise | | | | | |
| x | y | | | | | | | | | | | |
| 2H | 2H | 10.4 | 12.4 | 10.7 | 12.7 | 13.0 | 10.4 | 12.4 | 10.7 | 12.7 | 13.0 | |
| | 3H | 10.2 | 11.8 | 10.6 | 12.1 | 12.5 | 10.2 | 11.8 | 10.6 | 12.1 | 12.5 | |
| | 4H | 10.2 | 11.5 | 10.6 | 11.8 | 12.2 | 10.2 | 11.5 | 10.6 | 11.9 | 12.2 | |
| | 6H | 10.1 | 11.2 | 10.5 | 11.5 | 11.9 | 10.1 | 11.2 | 10.5 | 11.6 | 11.9 | |
| | 8H | 10.1 | 11.1 | 10.5 | 11.5 | 11.9 | 10.1 | 11.1 | 10.5 | 11.5 | 11.9 | |
| | 12H | 10.0 | 11.1 | 10.4 | 11.4 | 11.8 | 10.0 | 11.1 | 10.5 | 11.4 | 11.8 | |
| 4H | 2H | 10.2 | 11.5 | 10.6 | 11.9 | 12.2 | 10.2 | 11.5 | 10.6 | 11.8 | 12.2 | |
| | 3H | 10.1 | 11.1 | 10.5 | 11.5 | 11.9 | 10.1 | 11.1 | 10.5 | 11.5 | 11.8 | |
| | 4H | 10.0 | 10.9 | 10.4 | 11.3 | 11.7 | 10.0 | 10.9 | 10.4 | 11.3 | 11.7 | |
| | 6H | 9.6 | 11.2 | 10.1 | 11.7 | 12.1 | 9.6 | 11.2 | 10.1 | 11.7 | 12.1 | |
| | 8H | 9.5 | 11.3 | 10.0 | 11.8 | 12.2 | 9.5 | 11.3 | 10.0 | 11.8 | 12.2 | |
| | 12H | 9.4 | 11.3 | 9.9 | 11.7 | 12.3 | 9.4 | 11.3 | 9.9 | 11.8 | 12.3 | |
| 8H | 4H | 9.5 | 11.3 | 10.0 | 11.8 | 12.2 | 9.5 | 11.3 | 10.0 | 11.8 | 12.2 | |
| | 6H | 9.4 | 11.1 | 9.9 | 11.6 | 12.1 | 9.4 | 11.1 | 9.9 | 11.6 | 12.1 | |
| | 8H | 9.3 | 10.9 | 9.9 | 11.4 | 11.9 | 9.3 | 10.9 | 9.9 | 11.4 | 11.9 | |
| | 12H | 9.5 | 10.5 | 10.0 | 11.0 | 11.6 | 9.5 | 10.5 | 10.0 | 11.0 | 11.6 | |
| 12H | 4H | 9.4 | 11.3 | 9.9 | 11.8 | 12.3 | 9.4 | 11.3 | 9.9 | 11.7 | 12.3 | |
| | 6H | 9.3 | 10.9 | 9.9 | 11.4 | 11.9 | 9.3 | 10.9 | 9.9 | 11.4 | 11.9 | |
| | 8H | 9.5 | 10.5 | 10.0 | 11.0 | 11.6 | 9.5 | 10.5 | 10.0 | 11.0 | 11.6 | |
| Variations with the observer position at spacing: | | | | | | | | | | | | |
| S = | | 1.0H | 4.5 / -7.0 | | | | 4.5 / -7.0 | | | | | |
| | | 1.5H | 7.2 / -10.2 | | | | 7.2 / -10.2 | | | | | |
| | | 2.0H | 9.2 / -12.9 | | | | 9.2 / -12.9 | | | | | |